

УДК 531.13

В. Г. Савин, И. О. Моргун

УРАВНЕНИЯ КОЛЕБАНИЙ ПЬЕЗОКЕРАМИЧЕСКИХ СФЕРИЧЕСКИХ И ЦИЛИНДРИЧЕСКИХ ОБОЛОЧЕК

Введение

В настоящее время широкое применение в различных отраслях техники находят электроупругие преобразователи энергии с тонкостенными активными элементами.

Практическое использование этих преобразователей в технике достаточно широко отражено в справочной литературе. Например, в работе [1] приведена область их применения и даны основные особенности конструктивного исполнения. В работе [2] указаны особенности расчета, проектирования и конструирования основных типов пьезокерамических преобразователей, используемых в гидроакустике. Следует отметить, что в этой работе наряду с инженерными подходами: теорией эквивалентных схем и теорией четырехполюсников, приведен более строгий аналитический подход с привлечением одномерных и двухмерных уравнений теории тонких цилиндрических пьезокерамических оболочек.

В свою очередь, анализ публикаций по этой тематике показывает, что отсутствие работ, в которых описаны электроупругие колебания (в том числе и трехмерные) тонкостенных преобразователей других форм, сдерживает внедрение современных аналитических подходов в расчетную практику проектных организаций соответствующего профиля. В данной работе частично удастся восполнить этот пробел, описав динамическое поведение трехмерных колебаний пьезокерамических сферических и цилиндрических оболочек.

Вывод уравнений колебаний

Для описания движения тонкостенных элементов конструкций, у которых толщина мала по сравнению с геометрическими размерами, используются различные прикладные теории. Один из путей их построения состоит в принятии гипотез, учитывающих специфику объекта и позволяющих существенно упростить математическое описание процесса деформирования. Среди большого числа имеющихся теорий сравнительно простой и достаточно эффективной является линейная теория тонких упругих оболочек, основанная на гипотезах Кирхгофа-Лява (недеформируемых нормалей), на которые в дальнейшем будем опираться. Эти гипотезы формулируются следующим образом:

а) прямолинейный элемент оболочки, перпендикулярный его срединной поверхности, после деформации остается нерастяжимым, а также прямолинейным и перпендикулярным к деформированной срединной поверхности;

б) нормальными напряжениями на площадках, параллельных срединной поверхности, можно пренебречь.

Отнесем срединную поверхность оболочки к ортогональным криволинейным координатам α_1, α_2 , считая их совпадающими с направлениями главных кривизн. Третью пространственную координату α_3 направим вдоль внешней нормали к линиям $\alpha_1 = const, \alpha_2 = const$. В дальнейшем, желая сохранить наиболее употребляемые в теории оболочек обозначения, примем $\alpha_3 = r$.

Пусть геометрические свойства срединной поверхности характеризуются радиусами кривизны R_1, R_2 и коэффициентами первой квадратичной формы (коэффициенты Ламэ) A_1, A_2 . Обозначим через u, v, w компоненты вектора перемещений точки, лежащей в срединной поверхности оболочки. Так называется поверхность, равноотстоящая от двух лицевых поверхностей, которая делит толщину оболочки пополам ($-\frac{h}{2} \leq r \leq \frac{h}{2}$, где h – толщина оболочки). Тогда, с учетом принятых гипотез, перемещения точек, удаленных от срединной поверхности на расстояние r , выражаются через u_1, u_2, u_3 (рис. 1) следующим образом [3]:

$$u_1 = \left(1 + \frac{r}{R_1}\right)u - \frac{r}{A_1} \frac{\partial w}{\partial \alpha_1};$$

$$u_2 = \left(1 + \frac{r}{R_2}\right)v - \frac{r}{A_2} \frac{\partial w}{\partial \alpha_2};$$

$$u_3 = w.$$

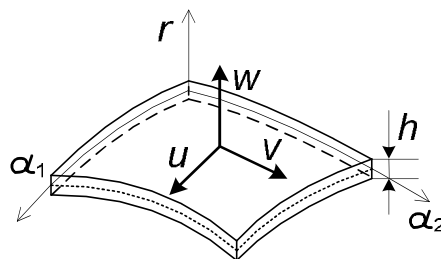


Рис. 1. Элемент пьезокерамической оболочки

Линеаризованные по r геометрические соотношения для компонент тензора деформаций имеют вид [3]:

$$\begin{aligned}
\varepsilon_{11} &= \varepsilon_1 + r\chi_1; \\
\varepsilon_{22} &= \varepsilon_2 + r\chi_2; \\
\varepsilon_{12} &= \omega + r\tau; \\
\varepsilon_{13} &= \varepsilon_{23} = \varepsilon_{33} = 0; \\
\varepsilon_1 &= \frac{1}{A_1} \frac{\partial u}{\partial \alpha_1} + \frac{1}{A_1 A_2} \frac{\partial A_1}{\partial \alpha_2} v + \frac{w}{R_1}; \\
\varepsilon_2 &= \frac{1}{A_2} \frac{\partial u}{\partial \alpha_2} + \frac{1}{A_1 A_2} \frac{\partial A_2}{\partial \alpha_1} u + \frac{w}{R_2}; \\
\omega &= \frac{A_1}{A_2} \frac{\partial}{\partial \alpha_2} \left(\frac{u}{A_1} \right) + \frac{A_2}{A_1} \frac{\partial}{\partial \alpha_1} \left(\frac{v}{A_2} \right); \\
\chi_1 &= -\frac{1}{A_1} \frac{\partial}{\partial \alpha_1} \left(\frac{1}{A_1} \frac{\partial w}{\partial \alpha_1} - \frac{u}{R_1} \right) - \frac{1}{A_1 A_2} \frac{\partial A_1}{\partial \alpha_2} \left(\frac{1}{A_2} \frac{\partial w}{\partial \alpha_2} - \frac{v}{R_2} \right); \\
\chi_2 &= -\frac{1}{A_2} \frac{\partial}{\partial \alpha_2} \left(\frac{1}{A_2} \frac{\partial w}{\partial \alpha_2} - \frac{v}{R_2} \right) - \frac{1}{A_1 A_2} \frac{\partial A_2}{\partial \alpha_1} \left(\frac{1}{A_1} \frac{\partial w}{\partial \alpha_1} - \frac{u}{R_1} \right); \\
\tau &= \left[\frac{A_1}{A_2} \frac{\partial}{\partial \alpha_2} \left(\frac{u}{A_1 R_1} \right) + \frac{A_2}{A_1} \frac{\partial}{\partial \alpha_1} \left(\frac{v}{A_2 R_2} \right) \right] - \\
&\quad - 2 \left[\frac{1}{A_1 A_2} \left(\frac{\partial^2 w}{\partial \alpha_1 \partial \alpha_2} - \frac{1}{A_1} \frac{\partial A_1}{\partial \alpha_2} \frac{\partial w}{\partial \alpha_1} - \frac{1}{A_2} \frac{\partial A_2}{\partial \alpha_1} \frac{\partial w}{\partial \alpha_2} \right) \right], \tag{1}
\end{aligned}$$

где ε_{11} , ε_{22} , ε_{33} , ε_{12} , ε_{13} , ε_{23} – компоненты тензора механических деформаций;

ε_1 , ε_2 , ω – относительные изменения размеров малого элемента срединной поверхности по соответствующей координате;

χ_1 , χ_2 , τ – деформации изгиба и скручивания.

Величины ε_1 , ε_2 и ω характеризуют равномерную по толщине деформацию оболочки, вызванную растяжением и сдвигом срединной поверхности, а χ_1 , χ_2 и τ определяют линейное изменение ε_{11} , ε_{22} и ε_{12} по толщине, обусловленное изгибом и скручиванием срединной поверхности.

Запишем уравнения пьезоэффекта [4] с учетом принятых гипотез для оболочки вращения в случае радиальной поляризации:

$$\begin{aligned}
\sigma_{\alpha_1} &= C_{11}^E \varepsilon_{11} + C_{12}^E \varepsilon_{22} - e_{31} E_r; \\
\sigma_{\alpha_2} &= C_{12}^E \varepsilon_{11} + C_{11}^E \varepsilon_{22} - e_{31} E_r; \\
\tau_{\alpha_1 \alpha_2} &= \frac{1}{2} (C_{11}^E - C_{12}^E) \varepsilon_{12}; \\
D_{\alpha_1} &= \varepsilon_{11}^s E_{\alpha_1}; \tag{2}
\end{aligned}$$

$$D_{\alpha_2} = \varepsilon_{11}^s E_{\alpha_2} ;$$

$$D_r = \varepsilon_{33}^s E_r + e_{31} (\varepsilon_{11} + \varepsilon_{22}) ,$$

где σ_{α_1} , σ_{α_2} , $\tau_{\alpha_1\alpha_2}$ – компоненты механических напряжений;

C_{11}^E , C_{12}^E – модули упругости пьезокерамики;

e_{31} – пьезомодуль керамики;

ε_{11}^s , ε_{33}^s – диэлектрическая проницаемость пьезокерамики;

E_{α_1} , E_{α_2} , E_r , D_{α_1} , D_{α_2} , D_r – составляющие векторов напряженности и индукции электрического поля.

Для нормальных составляющих векторов напряженности и индукции электрического поля принимаются приближенные равенства [4]

$$E_r = E_r^{(0)} + rE_r^{(1)} ;$$

$$D_r = const , \tag{3}$$

тогда из выражений (1) и (2) следует, что

$$E_r^{(1)} = -\frac{e_{31}}{\varepsilon_{11}^s} (\chi_1 + \chi_2) , \tag{4}$$

где $E_r^{(0)}$ – электрическая напряженность в срединной поверхности преобразователя;

$E_r^{(1)}$ – величина, описывающая линейный характер распределения электрической напряженности по толщине оболочки.

В классической теории пластин и оболочек рассматривается равновесие бесконечно малого в плоскости упругого элемента, который, однако, имеет конечную толщину. Для такого элемента в уравнениях его равновесия должны входить не сами напряжения по толщине, а их интегральные по толщине элемента характеристики. В качестве таких характеристик выбирают тангенциальные усилия T_1 , T_2 , S , а также изгибающие M_1 , M_2 и крутящий H моменты. Для тонких пластин и оболочек эти интегральные характеристики вычисляются по формулам, приведенным, например, в работе [5].

Для пьезокерамических оболочек эти интегральные характеристики выбираются аналогичным образом:

$$T_1 = \int_{-h/2}^{h/2} \sigma_{\alpha_1} dr ; \quad T_2 = \int_{-h/2}^{h/2} \sigma_{\alpha_2} dr ;$$

$$M_1 = \int_{-h/2}^{h/2} \sigma_{\alpha_1} r dr ; \quad M_2 = \int_{-h/2}^{h/2} \sigma_{\alpha_2} r dr ;$$

$$S = \int_{-h/2}^{h/2} \tau_{\alpha_1\alpha_2} dr ; \quad H = \int_{-h/2}^{h/2} \tau_{\alpha_1\alpha_2} r dr . \tag{5}$$

Следуя работе [3], уравнения равновесия в усилиях и моментах принимают вид:

$$\begin{cases} \frac{\partial(A_2 T_1)}{\partial \alpha_1} + \frac{\partial(A_1 S)}{\partial \alpha_2} + \frac{\partial A_1}{\partial \alpha_2} S - \frac{\partial A_2}{\partial \alpha_1} T_2 \frac{A_1 A_2}{R_1} N_1 + A_1 A_2 q_{\alpha_1} = 0, \\ \frac{\partial(A_2 S)}{\partial \alpha_1} + \frac{\partial(A_1 T_2)}{\partial \alpha_2} + \frac{\partial A_2}{\partial \alpha_1} S - \frac{\partial A_1}{\partial \alpha_2} T_1 + \frac{A_1 A_2}{R_2} N_2 + A_1 A_2 q_{\alpha_2} = 0, \\ \frac{\partial(A_2 N_1)}{\partial \alpha_1} + \frac{\partial(A_1 N_2)}{\partial \alpha_2} - A_1 A_2 \left(\frac{T_1}{R_1} + \frac{T_2}{R_2} \right) + A_1 A_2 q_r = 0; \\ \frac{\partial(A_2 H)}{\partial \alpha_1} + \frac{\partial(A_1 M_2)}{\partial \alpha_2} + \frac{\partial A_2}{\partial \alpha_1} H - \frac{\partial A_1}{\partial \alpha_2} M_1 - A_1 A_2 N_2 = 0, \\ \frac{\partial(A_2 M_1)}{\partial \alpha_1} + \frac{\partial(A_1 H)}{\partial \alpha_2} + \frac{\partial A_1}{\partial \alpha_2} H - \frac{\partial A_2}{\partial \alpha_1} M_2 - A_1 A_2 N_1 = 0, \end{cases} \quad (6)$$

где N_1, N_2 – перерезывающие усилия;

$q_{\alpha_1}, q_{\alpha_2}, q_r$ – составляющие вектора действующих внешних нагрузок.

Из второй системы уравнений (6) находим, что

$$N_1 = \frac{1}{A_1 A_2} \left[\frac{\partial(A_2 M_1)}{\partial \alpha_1} + \frac{\partial(A_1 H)}{\partial \alpha_2} + \frac{\partial A_1}{\partial \alpha_2} H - \frac{\partial A_2}{\partial \alpha_1} M_2 \right];$$

$$N_2 = \frac{1}{A_1 A_2} \left[\frac{\partial(A_2 H)}{\partial \alpha_1} + \frac{\partial(A_1 M_2)}{\partial \alpha_2} + \frac{\partial A_2}{\partial \alpha_1} H - \frac{\partial A_1}{\partial \alpha_2} M_1 \right].$$

Усилия и моменты с учетом выражений (2) – (5) выражаются посредством формул:

$$T_1 = h \left(C_{11}^E \varepsilon_1 + C_{12}^E \varepsilon_2 - e_{31} E_r^{(0)} \right);$$

$$T_2 = h \left(C_{12}^E \varepsilon_1 + C_{11}^E \varepsilon_2 - e_{31} E_r^{(0)} \right);$$

$$M_1 = \frac{h^3}{12} \left[\left(C_{11}^E + \frac{e_{31}^2}{\varepsilon_{33}^s} \right) \chi_1 + \left(C_{12}^E + \frac{e_{31}^2}{\varepsilon_{33}^s} \right) \chi_2 \right];$$

$$M_2 = \frac{h^3}{12} \left[\left(C_{12}^E + \frac{e_{31}^2}{\varepsilon_{33}^s} \right) \chi_1 + \left(C_{11}^E + \frac{e_{31}^2}{\varepsilon_{33}^s} \right) \chi_2 \right];$$

$$S = \frac{1}{2} (C_{11}^E - C_{12}^E) h \omega;$$

$$H = \frac{(C_{11}^E - C_{12}^E) h^3}{12} \tau.$$

(7)

Уравнения движения оболочки в перемещениях u , v , w , которые являются исходными при решении динамических задач гидроэлектроупругости, можно получить в соответствии с принципом Д'Аламбера [6], добавляя инерционные члены в уравнения равновесия (6) с последующей подстановкой в эти уравнения выражений (7) и (1). С учетом того, что радиусы кривизны для сферической оболочки принимают значения $R_1 = R_2 = R$, а для цилиндрической $R_1 = R$; $R_2 = \infty$, уравнения движения в сферических и цилиндрических координатах имеют вид:

$$\begin{aligned}uD_1^{(1)} + vD_2^{(1)} + wD_3^{(1)} &= \frac{R^2}{C_{11}^E} \rho \frac{\partial^2 u}{\partial t^2} - \frac{R^2}{C_{11}^E h} q_{\alpha_1} + \frac{e_{31}}{C_{11}^E} R \frac{\partial E_r^{(0)}}{\partial \alpha_1}; \\uD_1^{(2)} + vD_2^{(2)} + wD_3^{(2)} &= \frac{R^2}{C_{11}^E} \rho \frac{\partial^2 v}{\partial t^2} - \frac{R^2}{C_{11}^E h} q_{\alpha_2} + \frac{e_{31}}{C_{11}^E} R \frac{1}{\sin \alpha_1} \frac{\partial E_r^{(0)}}{\partial \alpha_2}; \\uD_1^{(3)} + vD_2^{(3)} + wD_3^{(3)} &= \frac{R^2}{C_{11}^E} \rho \frac{\partial^2 w}{\partial t^2} - \frac{R^2}{C_{11}^E h} q_r - \mathfrak{D} \frac{e_{31}}{C_{11}^E} R E_r^{(0)},\end{aligned}\quad (8)$$

где $D_i^{(j)}$ – дифференциальные операторы;

R – радиус оболочки;

ρ – плотность пьезокерамики.

Нижние индексы α_1 , α_2 в системе уравнений (8) принимают значения θ , ϕ – в случае сферической оболочки и θ , z – в случае цилиндрической оболочки, соответственно.

Для сферической электроупругой оболочки с учетом того, что коэффициенты Ламэ принимают значения $A_1 = R$; $A_2 = R \sin \theta$ [7], дифференциальные операторы имеют вид:

$$\begin{aligned}D_1^{(1)} &= [1 + \varepsilon(1 + \chi)] \left[\frac{\partial^2}{\partial \theta^2} + \frac{\partial}{\partial \theta} \operatorname{ctg} \theta - (\operatorname{ctg}^2 \theta + \xi) \right] + \frac{\partial^2}{\partial \phi^2} \frac{3}{2} (1 - \xi) (\operatorname{ctg}^2 \theta + 1); \\D_2^{(1)} &= -\frac{\partial}{\partial \phi} \frac{\operatorname{ctg} \theta}{\sin \theta} \left[(1 - \xi) \left(\frac{3}{2} + 2\varepsilon \right) + \xi + \varepsilon(\xi + \chi) \right] + \frac{\partial^2}{\partial \phi \partial \theta} \frac{1}{\sin \theta} \left[(1 - \xi) \left(\frac{1}{2} + \varepsilon \right) + \xi + \varepsilon(\xi + \chi) \right]; \\D_3^{(1)} &= -\varepsilon(1 + \chi) \left[\frac{\partial^3}{\partial \theta^3} + \operatorname{ctg} \theta \frac{\partial^2}{\partial \theta^2} - (\xi + \operatorname{ctg}^2 \theta) \frac{\partial}{\partial \theta} \right] + (1 + \xi) \frac{\partial}{\partial \theta} + \\&+ \frac{\partial^2}{\partial \phi^2} \varepsilon \frac{\operatorname{ctg} \theta}{\sin^2 \theta} [3(1 - \xi) + 2(\xi + \chi)] - \frac{\partial^3}{\partial \theta \partial \phi^2} \frac{1}{\sin^2 \theta} \varepsilon [2(1 - \xi) + (\xi + \chi)]; \\D_1^{(2)} &= \frac{\partial}{\partial \phi} \frac{\operatorname{ctg} \theta}{\sin \theta} \left[(1 - \xi) \left(\frac{1}{2} + \varepsilon \right) + 1 + \varepsilon(1 + \chi) \right] + \frac{1}{\sin \theta} \frac{\partial^2}{\partial \phi \partial \theta} \left[\frac{1}{2} (1 + \xi) + \varepsilon(1 + \chi) \right];\end{aligned}$$

$$\begin{aligned}
D_2^{(2)} &= (1-\xi) \left(\frac{1}{2} + \varepsilon \right) \left[\frac{\partial^2}{\partial \theta^2} + \operatorname{ctg} \theta \frac{\partial}{\partial \theta} + (1 - \operatorname{ctg}^2 \theta) \right] + \frac{1}{\sin^2 \theta} \frac{\partial^2}{\partial \phi^2} [1 + \varepsilon(1 + \chi)]; \\
D_3^{(2)} &= \frac{1}{\sin \theta} \left\{ \frac{\partial}{\partial \theta} \left[(1-\xi) 2\varepsilon (\sin^2 \theta - 2 + \operatorname{ctg}^2 \theta \sin^2 \theta) + 1 + \xi \right] - \varepsilon(1 + \chi) \frac{1}{\sin^2 \theta} \frac{\partial^3}{\partial \phi^3} - \right. \\
&\quad \left. - \operatorname{ctg} \varepsilon(1 + \chi) \frac{\partial^2}{\partial \theta \partial \phi} - \frac{\partial^3}{\partial \theta^2 \partial \phi} [(1-\xi) \varepsilon 2 + \xi + \chi] \right\}; \\
D_1^{(3)} &= \varepsilon(1 + \chi) \left[\frac{\partial^3}{\partial \theta^3} + 2 \operatorname{ctg} \theta \frac{\partial^2}{\partial \theta^2} - (1 + \xi + \operatorname{ctg}^2 \theta) \frac{\partial}{\partial \theta} + (2 - \xi + \operatorname{ctg}^2 \theta) \operatorname{ctg} \theta \right] - \\
&\quad - (1 + \xi) \left[\frac{\partial}{\partial \theta} + \operatorname{ctg} \theta \right] + \varepsilon \frac{\operatorname{ctg} \theta}{\sin^2 \theta} \frac{\partial^2}{\partial \phi^2} (1 + \chi) + \\
&\quad + \frac{\partial^3}{\partial \phi^2 \partial \theta} \frac{1}{\sin^2 \theta} [\varepsilon(\xi + \chi) + 2\varepsilon(1 - \xi)]; \\
D_2^{(3)} &= \frac{1}{\sin \theta} \left\{ \varepsilon \left[\frac{\partial}{\partial \phi} \left[(1-\xi)(3 - \operatorname{ctg}^2 \theta) + (\xi + \chi)(\operatorname{ctg}^2 \theta \cos^2 \theta - 1 - \cos^2 \theta) \right] + \right. \right. \\
&\quad \left. \left. + \frac{\partial^3}{\partial \phi^3} \frac{1}{\sin^2 \theta} (1 + \chi) \right] - (1 + \xi) \frac{\partial}{\partial \phi} + \varepsilon \left[\frac{\partial^3}{\partial \phi \partial \theta^2} (3 - 2\xi) - \frac{\partial^2}{\partial \phi \partial \theta} \operatorname{ctg} \theta \right] \right\}; \\
D_3^{(3)} &= -\varepsilon(1 + \chi) \left[\frac{\partial^4}{\partial \theta^4} + 2 \operatorname{ctg} \theta \frac{\partial^3}{\partial \theta^3} - (1 + \xi + \operatorname{ctg}^2 \theta) \frac{\partial^2}{\partial \theta^2} + (2 - \xi + \operatorname{ctg}^2 \theta) \operatorname{ctg} \theta \frac{\partial}{\partial \theta} \right] - \\
&\quad - 2(1 + \xi) - \frac{\partial^4}{\partial \phi^4} \frac{1}{\sin^4 \theta} \varepsilon(1 + \chi) + \varepsilon \frac{\partial^2}{\partial \phi^2} \left[\operatorname{ctg}^2 \theta (1 + 2\chi + \xi) + 2 \operatorname{ctg}^4 \theta (1 + \chi) - \right. \\
&\quad \left. - (1 - \xi) + \frac{2(1 + \cos^2 \theta)}{\sin^4 \theta} (\xi - \chi - 2) \right] - \varepsilon \frac{1}{\sin^2 \theta} \left[\frac{\partial^4}{\partial \phi^2 \partial \theta^2} 2(\chi + 2 - \xi) + \right. \\
&\quad \left. + \operatorname{ctg} \theta \frac{\partial^3}{\partial \phi^2 \partial \theta} (5\xi + \chi - 4) \right];
\end{aligned}$$

$$\mathfrak{D} = 2; \quad \varepsilon = \frac{h^2}{12R^2}; \quad \chi = \frac{e_{31}^2}{C_{11}^E \varepsilon_{33}^s}; \quad \xi = \frac{C_{12}^E}{C_{11}^E};$$

для цилиндрической электроупругой оболочки, для которой коэффициенты Ламэ принимают значения $A_1 = R$; $A_2 = 1$ [7], дифференциальные операторы имеют вид:

$$\begin{aligned}
D_1^{(1)} &= [1 + \varepsilon(1 + \chi)] \frac{\partial^2}{\partial \theta^2} + R^2 (1 - \xi) \left(\frac{1}{2} + \varepsilon \right) \frac{\partial^2}{\partial z^2}; \\
D_2^{(1)} &= \frac{\partial^2}{\partial \theta \partial z} (1 + \xi) \frac{R}{2};
\end{aligned}$$

$$\begin{aligned}
D_3^{(1)} &= \frac{\partial}{\partial \theta} - \varepsilon(1+\chi) \frac{\partial^3}{\partial \theta^3} - \frac{h^2}{12}(1+\chi) \frac{\partial^3}{\partial \theta \partial z^2}; \\
D_1^{(2)} &= \frac{\partial^2}{\partial \theta \partial z} (1+\xi) \frac{R}{2}; \\
D_2^{(2)} &= \frac{\partial^2}{\partial \theta^2} \frac{1}{2} (1-\xi) + R^2 \frac{\partial^2}{\partial z^2}; \\
D_3^{(2)} &= \xi R \frac{\partial}{\partial z}; \\
D_1^{(3)} &= -\frac{\partial}{\partial \theta} + \varepsilon(1+\chi) \frac{\partial^3}{\partial \theta^3} + \frac{h^2}{12} (2-\xi+\chi) \frac{\partial^3}{\partial \theta \partial z^2}; \\
D_2^{(3)} &= -\xi R \frac{\partial}{\partial z}; \\
D_3^{(3)} &= -1 - \varepsilon(1+\chi) \frac{\partial^4}{\partial \theta^4} - \frac{h^2}{6} (1+\chi) \frac{\partial^4}{\partial \theta^2 \partial z^2} - \frac{h^2 R^2}{12} (1+\chi) \frac{\partial^4}{\partial z^4}; \\
\mathfrak{B} &= 1.
\end{aligned}$$

Следует отметить, что в случае, когда оболочка контактирует с акустической средой (идеально сжимаемая жидкость), для составляющих вектора действующих внешних нагрузок в уравнениях (8) необходимо положить $q_{\alpha_1} = q_{\alpha_2} = 0$, а $q_r = -p$, где p – акустическое давление в месте контакта оболочки со средой.

Для частных случаев, когда рассматриваются колебания бесконечной по высоте цилиндрической оболочки или в случае осесимметричных колебаний сферической оболочки ($\nu=0$), уравнения движения запишутся следующим образом:

$$\begin{aligned}
D_1 u + D_2 w &= \frac{R^2}{C_{11}^E} \rho \frac{\partial^2 u}{\partial t^2} - \frac{R^2}{C_{11}^E h} q_{\alpha_1} + \frac{e_{31}}{C_{11}^E} R \frac{\partial E_r^{(0)}}{\partial \theta}; \\
D_3 u + D_4 w &= \frac{R^2}{C_{11}^E} \rho \frac{\partial^2 w}{\partial t^2} - \frac{R^2}{C_{11}^E h} q_r - \mathfrak{B} \frac{e_{31}}{C_{11}^E} R E_r^{(0)}.
\end{aligned}$$

Для сферической электроупругой оболочки дифференциальные операторы имеют вид:

$$\begin{aligned}
D_1 &= (1+\varepsilon) \left[\frac{\partial^2}{\partial \theta^2} + \frac{\partial}{\partial \theta} \operatorname{ctg} \theta - (\operatorname{ctg}^2 \theta + \xi) \right]; \\
D_2 &= -\varepsilon \left[\frac{\partial^3}{\partial \theta^3} + \frac{\partial^2}{\partial \theta^2} \operatorname{ctg} \theta - \frac{\partial}{\partial \theta} (\operatorname{ctg}^2 \theta + \xi) \right] + (1+\xi) \frac{\partial}{\partial \theta};
\end{aligned}$$

$$D_3 = \varepsilon \left[\frac{\partial^3}{\partial \theta^3} + 2 \frac{\partial^2}{\partial \theta^2} \operatorname{ctg} \theta - \frac{\partial}{\partial \theta} (1 + \operatorname{ctg}^2 \theta + \xi) + (2 + \operatorname{ctg}^2 \theta - \xi) \operatorname{ctg} \theta \right] -$$

$$-(1 + \xi) \left[\frac{\partial}{\partial \theta} + \operatorname{ctg} \theta \right];$$

$$D_4 = -\varepsilon \left[\frac{\partial^4}{\partial \theta^4} + 2 \frac{\partial^3}{\partial \theta^3} \operatorname{ctg} \theta - \frac{\partial^2}{\partial \theta^2} (1 + \operatorname{ctg}^2 \theta + \xi) + (2 + \operatorname{ctg}^2 \theta - \xi) \frac{\partial}{\partial \theta} \operatorname{ctg} \theta \right]$$

$$- 2(1 + \xi);$$

$$\mathfrak{S} = 2;$$

для цилиндрической электроупругой оболочки дифференциальные операторы имеют вид:

$$D_1 = [1 + \varepsilon(1 + \chi)] \frac{\partial^2}{\partial \theta^2};$$

$$D_2 = \frac{\partial}{\partial \theta} - \varepsilon(1 + \chi) \frac{\partial^3}{\partial \theta^3};$$

$$D_3 = -\frac{\partial}{\partial \theta} + \varepsilon(1 + \chi) \frac{\partial^3}{\partial \theta^3};$$

$$D_4 = -1 - \varepsilon(1 + \chi) \frac{\partial^4}{\partial \theta^4};$$

$$\mathfrak{S} = 1.$$

В одномерном случае (пульсирующие колебания) уравнения движения оболочки описываются только радиальным перемещением w

$$Dw = \frac{R^2}{C_{11}^E} \rho \frac{\partial^2 w}{\partial t^2} - \frac{R^2}{C_{11}^E h} q_r - \mathfrak{S} \frac{e_{31}}{C_{11}^E} RE_r^{(0)}.$$

Для сферической электроупругой оболочки:

$$D = -2(1 + \xi); \quad \mathfrak{S} = 2;$$

для цилиндрической электроупругой оболочки:

$$D = -1; \quad \mathfrak{S} = 1.$$

Механические и электрические граничные условия

Гидроэлектроупругие системы включают в себя единичные пьезокерамические преобразователи энергии или их совокупность, а также жидкие среды, которые могут заполнять безграничное внешнее пространство и внутренние объемы. Кроме того, в таких системах возможно наличие упругих, жестких или не воспринимающих нагрузок (свободных) поверхностей. Теоретическое исследование их динамического поведения сводится к совместному решению уравнений, описывающих движение

электроупругих (упругих) и жидких сред при соответствующих граничных условиях для характеристик сопряженных механических и электрических полей, а также условиях на бесконечности и в начале координат [8]. При изучении нестационарных процессов необходимо также задать начальные условия.

При взаимодействии тонкостенной пьезокерамической оболочки с акустической средой граничными являются условия, обеспечивающие равенство нормальных составляющих скоростей жидкости и оболочки

$$(\vec{V} \cdot \vec{n})|_{\Gamma} = \frac{\partial w}{\partial t},$$

где \vec{V} – вектор колебательной скорости жидкости; \vec{n} – нормаль к поверхности оболочки Γ .

Для пьезокерамических тел, помимо механических условий, требуется сформулировать условия для электрического поля. При возбуждении пьезокерамической оболочки электрическим напряжением Q , это условие примет вид [4]

$$E_r^{(0)} = \frac{Q}{h}.$$

В случае, когда электроды преобразователя закорочены, электрическая напряженность записывается следующим образом

$$E_r^{(0)} = 0.$$

Когда электроды разомкнуты (это соответствует случаю, когда они подключены к электронному устройству с бесконечно большим входным сопротивлением – несколько десятков МОм) электрические граничные условия записываются в виде

$$I_c = \frac{\partial}{\partial t} \int_{\Gamma} (\vec{n} \vec{D}) d\Gamma = 0,$$

где I_c – ток смещения в пьезокерамике; \vec{D} – электрическая индукция.

Когда поверхности оболочки неэлектродированы, т.е. электроды отсутствуют, принимается равенство

$$(\vec{n} \vec{D}) = 0.$$

Здесь приведены те виды граничных условий, которые являются наиболее характерными при решении прикладных задач гидроэлектроупругости.

Кроме приведенных граничных условий необходимо потребовать, чтобы для расходящихся в неограниченном пространстве акустических волн

выполнялось условие затухания, т.е. чтобы характеристики процесса убывали при $r \rightarrow \infty$, а решение в замкнутых объемах было ограничено при $r \rightarrow 0$.

Постановка нестационарных задач механики сплошных сред помимо краевых должна содержать начальные условия. Для гидроэлектроупругих систем, которые до момента приложения внешних возбуждающих воздействий ($t=0$) находились в состоянии покоя, динамические характеристики процесса (скорости, давления, перемещения и т.д.) принимаются равными нулю.

Выводы

1. С привлечением линейной теории электроупругости и гипотез Кирхгофа-Лява в рамках теории электроупругих оболочек записаны уравнения трехмерных колебаний радиально поляризованных цилиндрических и сферических оболочек.

2. Уравнения движения оболочек представляют собой систему трех линейных дифференциальных уравнений четвертого порядка, записанные относительно перемещений u , v , w . Приведены дифференциальные операторы, входящие в эти уравнения, для пьезокерамических оболочек сферической и цилиндрической форм.

3. Приведены уравнения движения пьезокерамических оболочек для ряда частных случаев, когда они совершают двухмерные, а также одномерные (пульсирующие) колебания.

4. Сформулированы механические и электрические граничные условия, которые обычно встречаются в прикладных задачах гидроэлектроупругости при изучении колебаний тонкостенных электроакустических преобразователей, работающих в режимах излучения и приема акустических волн.

Список использованной литературы

1. Пьезокерамические преобразователи (Справочное пособие) / [Минаев И.Г., Бондаренко Ю.Ю., Кисиль Т.Ю. и др.] ; под ред. В.М. Шарапова. – Черкассы: ЧГТУ, 2004. – 435 с.
2. Дідковський В. С. Електроакустичні п'єзокерамічні перетворювачі (розрахунок, проектування, конструювання) / В. С. Дідковський, О. Г. Лейко, В. Г. Савін – Кіровоград: «Імекс-ЛТД» . – 2006. – 448 с.
3. Микеладзе М. Ш. Введение в техническую теорию идеально-пластичных тонких оболочек / М.Ш. Микеладзе. – Тбилиси: Менцниреба, 1969. – 182

с.

4. *Гринченко В. Т.* Механика связанных полей в элементах конструкций : в 5 т. / В.Т. Гринченко, А.Ф. Улитко, Н.А. Шульга. – Киев : Наук. думка, 1989 – .– Т. 5: Электроупругость. – 1989. – 280 с.
5. *Гольденвейзер А. Л.* Теория упругих тонких оболочек / А.Л. Гольденвейзер. – М.: Наука, 1976. – 512 с.
6. *Павловський М. А.* Теоретична механіка / М.А. Павловський. – К.: Техніка, 2002. – 512 с.
7. *Савельев И. В.* Основы теоретической физики : в 2 т. / И.В. Савельев. – М.: Нука, 1991.– Т. 1: Механика и электродинамика. – 1991. – 496 с.
8. *Бабаев А. Э.* Нестационарные волны в сплошных средах с системой отражающих поверхностей / А.Э. Бабаев. – К.: Наук. думка, 1990. – 176 с.